

Э.Б. ЗАВОЙЧИНСКАЯ, канд. физ.-мат. наук,
Б.И. ЗАВОЙЧИНСКИЙ, д-р физ.-мат. наук

Теоретические основы и практические подходы анализа безопасности конструкций трубопроводов. Продолжение*

ЧАСТЬ 3

* * *

В первой части статьи [1] изложен подход российских нормативных документов к обеспечению проектной безопасности трубопроводов. Приведены основные понятия и определения теории безопасности, блочно-иерархическая структура конструктивной схемы трубопровода, основные источники поражения при разрушениях газопроводов, нефтепроводов и продуктопроводов, перекачивающих нестабильные жидкости. Сформулировано условие определения потенциального объема утечек перекачивающегося продукта в процессе эксплуатации трубопровода.

Во второй части статьи [2] обсуждена постановка задачи гидроаэродинамики об истечении жидкостей и газов через трещины и отверстия в конструктивных элементах трубопровода и о движении облака газовоздушной смеси в атмосфере. Рассмотрена проблема тепловыделения факелов и горящих жидкостей разлияния.

Приведены соотношения для оценки индивидуального риска при токсическом и термическом воздействиях истекающего продукта при авариях трубопроводов, при воздействиях взрывных волн и разлетающихся осколков, численные примеры зон термического поражения факелом и огневым шаром при загорании облака газовоздушной смеси, размеров котлована при разрушении газопровода, зон барического поражения людей.

А также дан анализ причин и последствий разрушения участка продуктопровода, транспортирующего нестабильную жидкость ШФЛУ (широкие фракции легких углеводородов) по территории Башкортостана, участка подземного промыслового газопровода на месторождении Медвежье, распределение значений индивидуального риска токсического поражения населения сероводородом в десятикилометровой зоне вокруг Астраханского газохимического комплекса. Представлены зависимости для оценки вероятности загорания промышленных объектов под действием теплового потока горящего продукта и вероятности разрушения зданий и сооружений от воздействия взрывной волны (промышленный риск), а также численные примеры зон термического и барического воздействий на промышленные объекты, разрушение цеха компрессорной станции "Приполярная" от воздействия взрывной волны при испытании повышенным давлением газа его связочного газопровода. В качестве примера оценки экологического риска уничтожения флоры в условиях Крайнего Севера приводятся результаты анализа возможных негативных воздействий на растительность при будущем строительстве и эксплуатации газовых объектов на Бованенковском газоконденсаторном месторождении полуострова Ямал.

3.1. При оценке объемов утечек продукта в процессе эксплуатации участка трубопровода рассматривают следующие потенциальные нарушения герметичности участка [1], [7]:

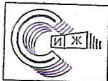
- сквозные отверстия, длина которых соизмерима с толщиной конструктивного элемента (коррозионные свищи, разрушение монтажных и заводских швов), сквозные короткие трещины;
- сквозные "протяжённые" трещины, длина которых меньше критической длины раскрытия трещин согласно механики разрушения;
- магистральные (критические) трещины;
- пробоины или отверстия в конструкции участка, появляющиеся в результате земляных работ третьей стороной или актов вандализма.

Потенциальный объем утечек перекачиваемого продукта определяется соотношениями (1.1), согласно которым необходимо располагать следующими распределениями вероятности характерных времен:

- распределением вероятности времени потери герметичности $t_{n,k}^*$ из-за появления n -й сквозной трещины в k -м конструктивном элементе $P = P(t_{n,k}^*)$;
- распределением вероятности времени крупномасштабного разрушения $t_{n,k}^{**}$ при раскрытии n -й критической трещины в k -м конструктивном элементе $P = P(t_{n,k}^{**})$;
- распределением вероятности времени потери герметичности $t_{n,s}^{**}$ после образования n -го коррозионного свища $P = P(t_{n,s}^{**})$;
- распределением вероятности времени n -го разрушения $(t_{n,d}^{**})$ участка техникой третьей стороны или актами терроризма $P = P(t_{n,d}^{**})$ и значениями характерных геометрических размеров дефектов, определяющих расход продукта из трубопровода в окружающую среду:
 - длиной трещины $l_{n,k}^*$ и ее раскрытием $\delta_{n,k}^*$,
 - длиной $l_{n,k}^{**}$ магистральной трещины и ее раскрытием $\delta_{n,k}^{**}$;
 - диаметром $d_{n,s}^{**}$ коррозионного свища;
 - диаметром $d_{n,d}^{**}$ пробитого в стенке элемента отверстия.

3.2. Распределение вероятности времени потери герметичности t из-за появления сквозных трещин в ко-

* Начало см. № 5, 6 за 1998 г.



конструкции участка трубопровода $P = P(t^*)$ задают следующим соотношением:

$$P(t^*) = \sum_{n=0}^{N(t^*)} \sum_{k=1}^K P(t_{n,k}^*), \quad (3.1)$$

$$P(t_{n,k}^*) = \int_{\alpha_t=1}^{10} \int_{n_c=1}^4 P(t_{n,k}^*, \alpha_t, n_c) d\Phi(\alpha_t, n_c),$$

где $P = P(t_{n,k}^*)$ – распределение вероятности времени потери герметичности $t_{n,k}^*$ из-за появления n -й сквозной трещины в k -м конструктивном элементе участка;

$P = P(t_{n,k}^*, \alpha_t, n_c)$ – распределение вероятности времени потери герметичности $t_{n,k}^*$ из-за появления n -й сквозной трещины в k -м конструктивном элементе участка, обусловлено начальным дефектом (коэффициент α_t , см. пп. 3.4 и 3.5) и коррозионно-активной средой (номер класса n_c , см. пп. 3.4 и 3.11), $\Phi = \Phi(\alpha_t, n_c)$ – распределение вероятности появления начального дефекта с коэффициентом α_t и коррозионно-активной среды с номером класса n_c .

Распределения $P(t_{n,k}^*, \alpha_t, n_c)$ находят по следующим соотношениям:

$$P(t_{n,k}^*, \alpha_t, n_c) = \left\{ [P_k(t_*, \alpha_t, n_c) (t_{n,k}^*/t_*)^b] n/n! \right\} \times \\ \times \exp \left\{ - \left(t_{n,k}^* - t_* \right) / T_1 \right\}, \quad (3.2)$$

где

$$b = (1 - t_s/t_*)^2, \quad T_1 = t_* (1 - t_s/t_*)^2,$$

$$P_k(t_*, \alpha_t, n_c) = \Phi(\pi_k(t_*, \alpha_t, n_c) - \pi_k(0, \alpha_t, n_c)),$$

$\Phi = \Phi(x)$ – интеграл вероятности,

$$\Phi(x) = (2\pi)^{-1/2} \times \int_0^x \exp(-t^2/2) dt.$$

t_* – назначенный срок службы трубопровода (период, в течение которого достигается максимальная экономическая целесообразность его эксплуатации);

t_s – время эксплуатации участка трубопровода, при котором ускорение процесса накопления повреждений в его конструктивных элементах равно нулю, $t_s = (0,4 \div 0,6)t_*$;

$\pi_k = \pi_k(t, \alpha_t, n_c)$ – повреждение k -го обобщенного конструктивного элемента в процессе эксплуатации t (определяется по нижеприведенным соотношениям (3.5) и (3.6) с привлечением соотношений (3.3)–(3.28));

$P_k = P_k(t_*, \alpha_t, n_c)$ – вероятность потери герметичности из-за появления первой сквозной трещины в k -м конструктивном элементе участка (начальный дефект с коэффициентом α_t и коррозионно-активная среда с

номером класса n_c) в течение назначенного срока службы t_* .

При условии $t_s = 0$ распределения $P(t_{n,k}^*, \alpha_t, n_c)$ по соотношениям (3.2) являются Пуассоновским потоком.

Расчетные значения t_* должны быть меньше следующих величин:

- магистральный трубопровод – 35÷40 лет;
- обязанный газопровод газоперекачивающей компрессорной станции (ГПА КС) и насосно-перекачивающей станции (НПС) – 55÷60 лет;
- промысловый трубопровод – 15÷20 лет;
- трубопроводы – отводы – 20÷25 лет.

Распределение $\Phi = \Phi(\alpha_t, n_c)$ определяется по статистическим данным аварий на соответствующих системах трубопроводов как результат системного анализа причин аварий (технологические дефекты механического происхождения, дефекты при сварке, геометрические отклонения от проектного решения) [4].

3.3. Номинальное напряженное состояние обобщенных конструктивных элементов участка трубопровода представляют в следующем виде:

$$\sigma_1 = \sigma_{12}(l) \sigma(t), \quad \sigma(t) = \left(\sigma_m + \sum_{j=1}^J \sigma_{a,j} \sin i_j t \right) / (1 - v(t-t_0)) = \\ = \sigma_p \left[p_0 + \sum_{j=1}^J p_j \sin i_j t \right] / (1 - v(t-t_0)), \quad p_j = p_j(\sigma_{a,j}), \quad (3.3)$$

$$\sigma_2 = \mu \sigma_{12}(l) \sigma(t) - \alpha E \Delta T \pm ER_h [\cos \varphi / R_1(l, k_d) + \\ + \sin \varphi / R_2(l, k_d)] = \mu \sigma_1(l, t) \pm \sigma_{2,m}(l), \quad (3.4)$$

$$\sigma_{2,m} = -\alpha E \Delta T \pm ER_h [\cos \varphi / R_1(l, k_d) + \sin \varphi / R_2(l, k_d)],$$

$$P_1 = p(R_1(l, k_d)), \quad p_2 = p(R_2(l, k_d)),$$

$$\sigma_{12} = \sigma_{12}(l, t) = \sigma_{12,1}(l) \sigma(t), \quad p_{12,1} = p(\sigma_{12,1}(l)),$$

где $\sigma_{a,j}$, i_j – амплитудно-частотная характеристика кольцевых напряжений, обусловленных внутренним давлением перекачиваемого продукта;

σ_p – кольцевое напряжение от рабочего давления перекачиваемого продукта;

R_h – внешний радиус конструктивного элемента;

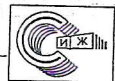
R_1 – радиус изгиба оси трубопровода в горизонтальной плоскости при его укладке, просадках или пучении;

R_2 – радиус изгиба оси трубопровода в вертикальной плоскости при его укладке, просадках или пучении грунта;

$p_i = p(R_i(l))$ – плотность распределения радиусов изгиба оси трубопровода по его длине $i = 1, 2$;

μ – коэффициент Пуассона;

φ – угол, определяющий положение расчетной точки в поперечном сечении газопровода;



α – коэффициент линейного расширения материала элемента;

E – модуль Юнга;

ΔT – разность температур [5];

t_0 – начальный момент времени развития процесса равномерной коррозии или "колоний" стресс-коррозионных трещин;

v – скорость "утонения" стенки конструктивного элемента, обусловленная равномерной коррозией или поверхностным развитием "колонии" трещин, отнесеная к нормативному значению толщины конструктивного элемента;

k_d – коэффициент, учитывающий рельеф и особенности местности, состояние грунта (гористый, равнинно-холмистый, пустынный, болотистый, подвергаемые территории и территории, подверженные карстовым явлениям, вечномерзлые грунты, промерзающий пучинистый грунт при возможном криогенном растрескивании и т.д.).

3.4. Повреждения обобщенных конструктивных элементов в процессе эксплуатации $\pi_k(t)$ (см. соотношения (3.2)) вычисляют по следующим формулам [3, 4]:

$$\pi_k(t) = \frac{\sigma_p^2}{G_1(t)} f_2(v, t)^2 + \frac{\sigma_p |\sigma_{2,m}|}{[G_1(t) G_2(t)]^{1/2}} f_2(v, t) + \frac{\sigma_{2,m}^2}{G_2(t)}, \quad k = 1, 2,$$

$$\pi_k(t) = Q(t) + [Q_1(t) Q_2(t)]^{1/2} + Q_2(t), \quad k = 3 \dots 6, \quad (3.5)$$

$$\pi_k(t) = Q_1(t) + 0,85 Q_2(t), \quad k = 7, \dots, 15,$$

$$\text{где } G_1(t)/(\sigma_p f_1(v, t)) = p_0 \sigma_{\text{дл}}(t, \eta_s, n_c) + \sum_{j=1}^J p_j \sigma_{-1}(i_j, m_j i_j t, \eta_s, n_c),$$

$$G_2(t) = \mu G_1(t) + |\sigma_{2,m}| \sigma_{\text{дл}}(t, \eta_s, n_c), \quad (3.6)$$

$$Q_1(t)/(\sigma_p f_1(v, t)) = p_0 / \sigma_{\text{дл}}(t, \alpha_p, \eta_s, n_c) + \sum_{j=1}^J p_j / \sigma_{-1}(i_j, m_j i_j t, \alpha_p, \eta_s, n_c),$$

$$Q_2(t) = \mu Q_1(t) + |\sigma_{2,m}| / \sigma_{\text{дл}}(t, \alpha_p, \eta_s, n_c),$$

$$f_1(v, t) = -\ln[(1 - v(t - t_0))/v(t - t_0)],$$

$$f_2(v, t) = 1 - v(t - t_0).$$

Здесь $\sigma_{\text{дл}} = \sigma_{\text{дл}}(t, \eta_s, n_c)$ – кривая длительной прочности основного металла, учитывающая старение и протекающие при эксплуатации коррозионные процессы;

$\sigma_{\text{дл}} = \sigma_{\text{дл}}(t, \alpha_p, \eta_s, n_c)$ – кривая длительной прочности конструктивных элементов, учитывающая старение и

протекающие при эксплуатации коррозионные процессы;

$\sigma_{-1} = \sigma_{-1}(i_k, m_k i_k t, t_1, \eta_s, n_c)$ – кривая циклической прочности основного металла, учитывающая старение и протекающие при эксплуатации коррозионные процессы;

$\sigma_{-1} = \sigma_{-1}(i_k, m_k i_k t, t_1, \alpha_p, \eta_s, n_c)$ – кривая циклической прочности конструктивных элементов, учитывающая старение и протекающие при эксплуатации коррозионные процессы;

η_s – коэффициент, учитывающий старение материала конструктивных элементов в процессе длительного нагружения;

n_c – номер группы, учитывающий интенсивность коррозионного воздействия окружающей среды на конструкцию трубопровода;

α_p – теоретический коэффициент концентрации напряжений в конструктивном элементе.

3.5. Предел длительной прочности конструктивных элементов (см. соотношения (3.6)) находят по следующим соотношениям:

$$\sigma_{\text{дл}}(t, \alpha_p, \eta_s, n_c) / \sigma_b = \Psi_1(t, \alpha_p, \eta_s, n_c) + \Psi_2(t, \eta_s, n_c), \quad (3.7)$$

где при отсутствии коррозионных процессов или при внутренней коррозии первое слагаемое (3.7) задается формулами:

$$\Psi_1(t, \alpha_p, \eta_s, n_c) = \begin{cases} \Psi_1(t_0) \frac{\lg t}{\lg t_1}, & t < t_1, \\ \Psi_1(t_0) - [\Psi_1(t_0) - \Psi_1(t_1)] \frac{\lg t/t_0}{\lg t_1/t_0}, & t_1 < t < t_0, \\ \frac{\Psi_1(t_0) \lg t/t_0 - a_1 \lg t/t_0}{\lg t_0/t_3}, & t > t_0; \end{cases} \quad (3.8)$$

второе слагаемое (3.7) определяется так:

$$\Psi_2(t, \eta_s, n_c) = \begin{cases} \mu_1 + [\Psi_2(t_1) - \mu_1] \frac{\lg t}{\lg t_1}, & t < t_1, \\ \Psi_2(t_0) - [\Psi_2(t_0) - \Psi_2(t_1)] \frac{\lg t/t_0}{\lg t_1/t_0}, & t_1 < t < t_0, \\ \Psi_2(t_0), & t > t_0; \end{cases} \quad (3.9)$$

здесь

$$a_1 = 0,5 \left\{ 2\Psi_1(t_0) - 0,5[\Psi_1(t_0) - \Psi_1(t_1)] \frac{\lg t_3/t_0}{\lg t_1/t_0} \right\}, \quad (3.10)$$



$$\Psi_1(t_1) = a_{1,3}\mu_2/K_s, \quad \Psi_1(t_0) = a_{1,1}\mu_3/K_t,$$

$$a_{1,3}, a_{1,1} \leq 1,$$

$$\Psi_2(t_1) = (1 - a_{1,3})\mu_2, \quad \Psi_2(t_0) = (1 - a_{1,1})\mu_3.$$

При отсутствии коррозионных процессов

$$\mu_1 = \rho^* + (1 - \rho^*)\eta_s, \quad \mu_2 = \rho_{\text{дл}}^{**} + (\rho^* - \rho_{\text{дл}}^{**})\eta_s,$$

$$\mu_3 = \rho_{\text{дл},k}^{**} + (\rho_{\text{дл}}^{**} - \rho_{\text{дл},k}^{**})\eta_s.$$

При условии внутренней коррозии

$$\mu_i = \mu_i^{(0)}(1 - \rho^* c_s p(H_2)), \quad i = 1, 2, 3,$$

$$\mu_1^{(0)} = \rho^* + (1 - \rho^*)\eta_s, \quad \mu_2^{(0)} = \rho_{\text{дл}}^{**} + (\rho^* - \rho_{\text{дл}}^{**})\eta_s, \quad (3.12)$$

$$\mu_3^{(0)} = \rho_{\text{дл},k}^{**} + (\rho_{\text{дл}}^{**} - \rho_{\text{дл},k}^{**})\eta_s.$$

При условии внешней коррозии первое слагаемое (3.7) задают следующими зависимостями:

$$\begin{aligned} & \Psi_1(t, \alpha_p, \eta_s, n_c) = \\ & = \begin{cases} \Psi_1(t_1) \frac{\lg t}{\lg t_1}, & t < t_1, \\ \Psi_1(t_0) - [\Psi_1(t_0) - \Psi_1(t_1)] \frac{\lg t/t_0}{\lg t_1/t_0}, & t_1 < t < t_i, \\ \Psi_1(t_i) - [\Psi_1^*(t_0) - \Psi_1^*(t_1)] \frac{\lg t/t_i}{\lg t_1/t_0}, & t_i < t < t_0, \\ \frac{\Psi_1^{**}(t_0) \lg t/t_3 - a_1^* \lg t/t_0}{\lg t_0/t_3}, & t > t_0; \end{cases} \quad (3.13) \end{aligned}$$

второе слагаемое (3.7) определяется так:

$$\begin{aligned} & \Psi_2(t, \eta_s, n_c) = \\ & = \begin{cases} \mu_1 + [\Psi_2(t_1) - \mu_1] \frac{\lg t}{\lg t_1}, & t < t_1, \\ \Psi_2(t_1) - [\Psi_2(t_0) - \Psi_2(t_1)] \frac{\lg t/t_1}{\lg t_1/t_0}, & t_1 < t < t_i, \\ \Psi_2(t_i) - [\Psi_2^*(t_0) - \Psi_2^*(t_1)] \frac{\lg t/t_i}{\lg t_1/t_0}, & t_i < t < t_0, \\ \Psi_2^{**}(t_0), & t > t_0; \end{cases} \quad (3.14) \end{aligned}$$

здесь

$$\Psi_1(t_i) = \Psi_1(t_0) - [\Psi_1(t_0) - \Psi_1(t_1)] \frac{\lg t_i/t_0}{\lg t_1/t_0},$$

$$\Psi_2(t_i) = \Psi_2(t_0) - [\Psi_2(t_0) - \Psi_2(t_1)] \frac{\lg t_i/t_0}{\lg t_1/t_0}, \quad (3.15)$$

$$\Psi_2^{**}(t_0) = \Psi_2(t_i) - [\Psi_2^*(t_0) - \Psi_2^*(t_1)] \frac{\lg t_0/t_i}{\lg t_1/t_0},$$

$$\Psi_1^{**}(t_0) = \Psi_1(t_i) - [\Psi_1^*(t_0) - \Psi_1^*(t_1)] \frac{\lg t_0/t_i}{\lg t_1/t_0},$$

$$a_1^* = 0,5 \left\{ 2\Psi_1^*(t_0) - 0,5[\Psi_1^*(t_0) - \Psi_1^*(t_1)] \frac{\lg t_3/t_0}{\lg t_1/t_0} \right\}, \quad (3.16)$$

$$\Psi_1^*(t_1) = a_{1,3}\mu_2^*/K_s, \quad \Psi_1^*(t_0) = a_{1,1}\mu_3^*/K_t,$$

$$\Psi_2^*(t_1) = (1 - a_{1,3})\mu_2^*, \quad \Psi_2^*(t_0) = (1 - a_{1,1})\mu_3^*, \quad (3.17)$$

$$\mu_i^* = \mu_i^{(0)}(1 - f(k_s, k_c, k_p)), \quad i = 1, 2, 3,$$

$$\mu_1^{(0)} = \rho^* + (1 - \rho^*)\eta_s, \quad \mu_2^{(0)} = \rho_{\text{дл}}^{**} + (\rho^* - \rho_{\text{дл}}^{**})\eta_s, \quad (3.18)$$

$$\mu_3^{(0)} = \rho_{\text{дл},k}^{**} + (\rho_{\text{дл}}^{**} - \rho_{\text{дл},k}^{**})\eta_s;$$

$$K_t = 1 + q_1(\alpha_t - 1), \quad K_s = \mu_2 / [\mu_2 - a_{1,1}\mu_3(1 - 1/K_t)], \quad (3.19)$$

3.6. Предел циклической прочности конструктивных элементов (см. соотношения (3.6)) вычисляют по следующим зависимостям:

$$\sigma_{-1}(i_k, m_k i_k t, t_p, \alpha_p, \eta_s, n_c) / \sigma_b = \{ \Phi_1(i_k, m_k i_k t, \alpha_p, \eta_s, n_c) \times$$

$$\times \Phi_2(m_k i_k t) / K_t + \Phi_3(i_k, m_k i_k t, \eta_s, n_c) \} \times \quad (3.20)$$

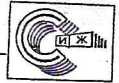
$$\times \sigma_{\text{дл}}(t, t_1) / \sigma_{\text{дл}}(t, t_1 > t_0),$$

где первый сомножитель первого слагаемого имеет вид

$$\Phi_1(i_k, x, \alpha_p, \eta_s, n_c) =$$

$$\begin{cases} \Phi_1(i_k, N_1) + [\Phi_1(i_k, N_1) - \Phi_1(i_k, 1)] \frac{\lg(x/N_1)}{\lg N_1}, & 1 < x < N_1, \\ \Phi_1(i_k, N_3) + [\Phi_1(i_k, N_1) - \Phi_1(i_k, N_3)] \frac{\lg(x/N_3)}{\lg(N_1/N_3)}, & N_1 < x < N_3, \\ \Phi_1(i_k, N_0) - [\Phi_1(i_k, N_0) - \Phi_1(i_k, N_3)] \frac{\lg(x/N_0)}{\lg(N_3/N)}, & N_3 < x < N_0, \\ \Phi_1(i_k, N_0), & x > N_0, \end{cases} \quad (3.21)$$

здесь $\Phi_1(i_k, 1) = v_1^* - v_3$,



$$\Phi_1(i_k, N_1) = v_1^* - v_3 - (v_4 - v_3) \frac{\lg N_1}{\lg N_0},$$

$$\Phi_1(i_k, N_3) = v_2 - v_3 - (v_4 - v_3) \frac{\lg N_3}{\lg N_0}, \quad (3.22)$$

$$\Phi_1(i_k, N_0) = v_3 - v_4, \quad v_1^* = v_1 K_t / K_s - v_3 (K_t - 1);$$

второй сомножитель первого слагаемого выглядит так:

$$\begin{cases} 1, & 0 < x < N_2, \\ \Phi_2(x) = \begin{cases} K_c - (K_c - 1) \frac{\lg(x/N_0)}{\lg(N_2/N_0)}, & N_2 < x < N_0, \\ K_c, & x > N_0; \end{cases} \end{cases} \quad (3.23)$$

второе слагаемое имеет форму

$$\Phi_3(i_k, x, \eta_s, n_c) = (v_4 - v_3) \frac{\lg x}{\lg N_0} + v_3. \quad (3.24)$$

В вышеприведенных формулах использованы такие зависимости:

при отсутствии коррозионных процессов

$$v_i = v_i^{(0)} (1 + b_i \lg i_k / i_3), \quad i = 1, 2, 3, 4, \quad (3.25)$$

при внутренней коррозии

$$v_i = v_i^{(0)} (1 - \rho^* c_s p(H_2)) (1 + b_i \lg i_k / i_3), \quad i = 1, 2, 3, 4,$$

при внешней коррозии

$$v_i = v_i^{(0)} (1 - \rho^* f(k_s, k_c, k_p)) (1 + b_i \lg i_k / i_3), \quad i = 1, 2, 3, 4;$$

$$v_1^{(0)} = \rho^* + (1 - \rho^*) \eta_s, \quad v_2^{(0)} = \rho^{**} + (\rho^* - \rho^{**}) \eta_s, \quad (3.26)$$

$$v_3^{(0)} = \rho_{-1}^{**} + (\rho^{**} - \rho_{-1}^{**}) \eta_s, \quad v_4^{(0)} = \rho_{-1}^{**},$$

$$\eta_s = \lg(1 - \Psi/k_{st}(t)) / \lg(1 - \Psi), \quad k_{st}(t) = 1 + 0,1 [G]_s \lg t; \quad (3.27)$$

$$K_t = 1 + q_2(\alpha_t - 1), \quad K_s = v_2 / [v_2 - v_3 (1 - 1/K_t)], \quad (3.28)$$

и принятые следующие обозначения:

- K_t – эффективный коэффициент концентрации напряжений при упругом номинальном деформировании,
- K_s – эффективный коэффициент концентраций напряжений при развитом номинальном пластическом деформировании,

K_c	– эффективный коэффициент концентрации напряжений в околосшовной зоне,
m_k	– коэффициенты надежности по числу циклов, $k = 0, 1, 2, 3$,
ρ^*	– отношение минимальных значений предела текучести σ_t к пределу статической прочности стали σ_b ,
ρ^{**}	– отношение минимальных значений предела выносливости к пределу статической прочности стали,
ρ_{-1}^{**}	– отношение минимальных значений предела выносливости образца с V-образной выточкой к пределу статической прочности;
$\rho_{\text{дл.}}^{**}$	– отношение минимальных значений предела неограниченной длительной прочности стали к пределу статической прочности;
$\rho_{\text{дл.т.}}^{**}$	– отношение минимальных значений неограниченной длительной прочности образца с V-образной выточкой к пределу статической прочности;
N_k	– базовые числа циклов при аппроксимации кривых усталостной прочности стали, $k = 0, 1, 2, 3$;
t_k	– базовые времена при аппроксимации кривых длительной прочности стали, $k = 0, 1, 3$;
t_i	– срок службы изоляционного покрытия;
b_i	– параметры, характеризующие зависимость предела усталостной прочности от частоты нагружения, $i = 1, 2, 3, 4$;
q_1, q_2	– коэффициенты чувствительности стали конструктивного элемента к его геометрической форме при длительном и циклическом нагружении соответственно;
f	– функция, учитывающая влияние коррозионных процессов на длительную и циклическую прочность сталей, $f = f(n_c) = f_N$, $N = 1, \dots, 4$, (при коррозионных процессах $f = c_s p(H_2)$, $p(H_2)$ – парциальное давление водорода в пограничном слое у поверхности элемента,
ψ	– коэффициент поперечного сужения образца при одноосном статическом разрушении;
$[C_3]$	– эквивалент углерода стали, $0 < [C_3] < 0,46$.

3.7. При оценке объемов потерянного продукта площадь поперечного сечения сквозной трещины F определяют по следующей формуле:

$$F(t) = 0,32 \cdot 10^{-5} l_{n,k}^{*2} \sigma_t [1 + 0,1 l_{n,k}(t)^{**2} / (R_h \delta)] \times \ln \sec(1,57 m / (k_1 k_{np})), \quad (3.29)$$

где σ_t – предел текучести, МПа;

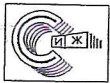
k_1 – коэффициент надежности по материалу [5];

k_h – коэффициент надежности по назначению [5];

m – коэффициент условий работы [5];

δ – номинальная толщина конструктивного элемента.

Длину трещины $l_{n,k}(t)^*$ при $t > t_{n,k}^*$ для соотношения (3.29) определяют так [6]:



$$l_{n,k}(t)^* = \left[\delta^{*(2-q)/2} + b_1 \frac{1}{v} \ln \frac{1-v \lg(t_{n,k}^*/t_0)}{1-v \lg(t/t_0)} \right]^{2/(2-q)}, \quad (3.30)$$

при $v = 0$

$$l_{n,k}(t)^* = \left[\delta^{*(2-q)/2} + b_1 \lg(t/t_{n,k}^*) \right]^{2/(2-q)},$$

где

$$b_1 = A_{L,N} \frac{(2-q)(1-\rho^{1+q})}{2(1+q)(1-\rho)}, \quad (3.31)$$

$$A_{L,N} = \left\{ [a_l(n_c)p_0]^{1/q} + \sum_{j=1}^3 (a_{l,j}p_j)^{1/q} \right\}^q \sigma_B^v \delta^{v/2},$$

ρ – отношение расчетного кольцевого напряжения к пределу статической прочности материала σ_B конструктивного элемента;

$q, a_l(n_c), a_{l,j}$ – показатели статической и циклической трещиностойкости материала конструкции при продольном росте трещины.

3.8. Распределение вероятности времени крупномасштабного разрушения t^{} при раскрытии критической трещины в конструкции участка трубопровода $P = P(t^{**})$ – $P(t_{n,k}^{**})$ задают по следующему соотношению:**

$$P(t^{**}) = \sum_{n=0}^{N(t^{**})} \sum_{k=1}^K P(t_{n,k}^{**}), \quad (3.32)$$

где $P = P(t_{n,k}^{**})$ – распределение вероятности времени крупномасштабного разрушения $t_{n,k}^{**}$ при раскрытии n -й критической трещины в k -м конструктивном элементе участка.

Распределения $P(t_{n,k}^{**})$ находят по следующим соотношениям:

$$P(t_{n,k}^{**}) = \{P_k(t_*) (t_{n,k}^{**}/t_{1*})^b\} n/n! \exp \{-(t_{n,k}^{**} - t_{1*})/T_{1.1}\}, \quad (3.33)$$

где $b = (1 - t_{s,1}/t_{1*})^{-2}$, $T_{1.1} = t_{1*}(1 - t_{s,1}/t_{1*})^2$.

Вероятность $P = P_k(t_*)$ определяют согласно пп. 3.2–3.6.

Значение t_1^* вычисляют по формуле

$$\lg(t_1^*/t_0) = \{1 - [1 + v \lg(t_1^*/t_0)]/\exp([v(l_{n,k}^{**}/\delta)^{(2-q)/2} - 1])\}/b_1 \quad (3.34)$$

а значение $t_{s,1}$ – по аналогичной формуле:

$$\lg(t_{s,1}/t_0) = \{1 - [1 + v \lg(t_s/t_0)]/\exp([v(l_{n,k}^{**}/\delta)^{(2-q)/2} - 1])\}/b_1 \quad (3.35)$$

Здесь t_s и t_* задают согласно п. 3.2, b_1 – по (3.31).

Длину критической трещины $l_{n,k}^{**}$ в формулах (3.34) и (3.35) находят по следующей зависимости [6]:

$$l_{n,k}^{**} = \pi \sqrt{R \delta} [4 + (1/(1-\rho^2) + \rho^*/(1-\rho^2/\rho^{*2}))]/(1-\rho^*). \quad (3.36)$$

Распределение вероятности времени крупномасштабного разрушения $P = P(t^{**})$ участка нефтепровода и распределения вероятности времени крупномасштабного разрушения $P = P(t_{n,k}^{**})$ при раскрытии трещин в конструктивных элементах участка нефтепровода (по данным разрушения системы нефтепроводов РФ за двенадцать лет эксплуатации (1981–1993 гг.) и по соотношениям (3.2), (3.5)–(3.28)) представлены на рис. 1 и 2.

Распределение вероятности времени разрушения для основного металла участка при отсутствии коррозии $P = P(t_{n,k=1}^{**})$ изображено на рис. 1, а, в условиях коррозии $P = P(t_{n,k=2}^{**})$ – на рис. 1, б, для поперечных сварных

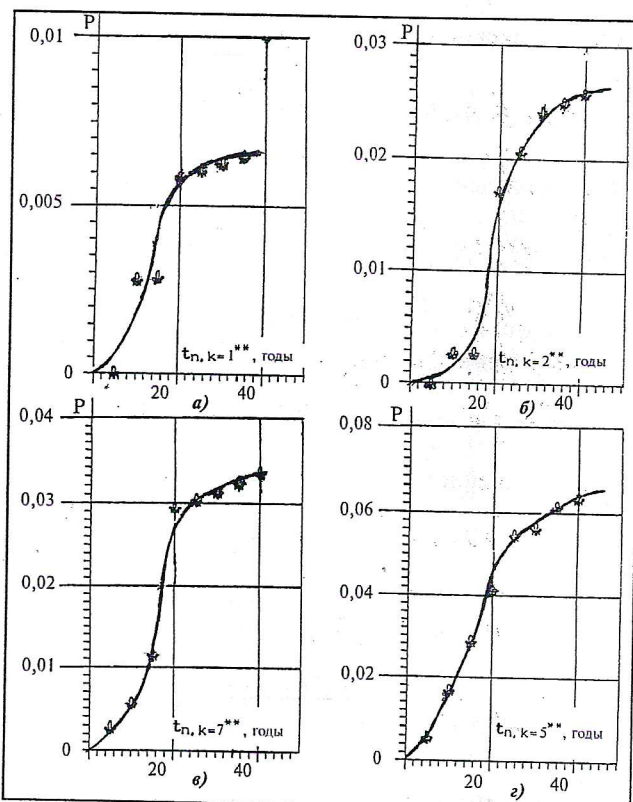


Рис. 1. Распределения вероятности времени крупномасштабного разрушения при раскрытии трещин в конструктивных элементах участка нефтепровода по данным разрушения системы нефтепроводов РФ за двенадцать лет эксплуатации (1981–1993 гг.) и по соотношениям (3.2), (3.5)–(3.28):
а – для основного металла участка при отсутствии коррозии, $P = P(t_{n,k=1}^{**})$; б – для основного металла участка в условиях коррозии, $P = P(t_{n,k=2}^{**})$; в – для поперечных сварных соединений участка, $P = P(t_{n,k=7}^{**})$; г – для продольных сварных соединений участка, $P = P(t_{n,k=3}^{**})$;

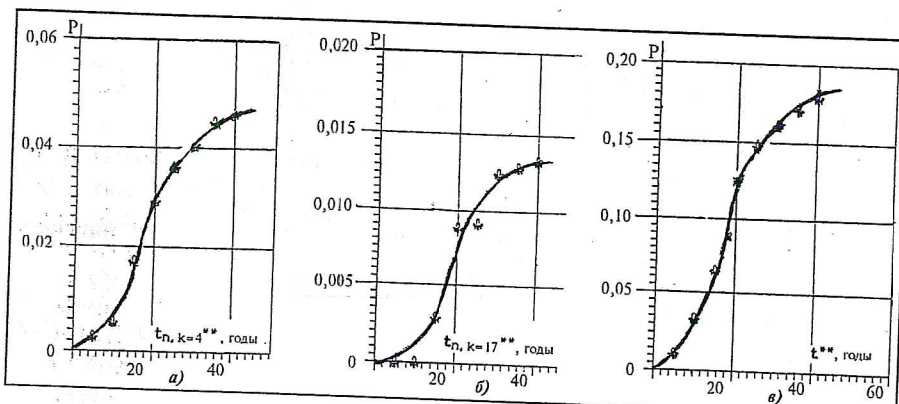


Рис. 2. Распределение вероятности времени крупномасштабного разрушения участка нефтепровода и распределения вероятности времени крупномасштабного разрушения при раскрытии трещин в его конструктивных элементах:
а – для основного металла с технологическими дефектами $P = P(t_{n,k=4}^{**})$; б – для соединительных деталей участка $P = P(t_{n,k=17}^{**})$; в – для участка нефтепровода $P = P(t^{**})$

соединений участка $P = P(t_{n,k=7}^{**})$ – на рис. 1, в, для продольных сварных соединений участка $P = P(t_{n,k=5}^{**})$ – на рис. 1, г, для основного металла с технологическими дефектами $P = P(t_{n,k=4}^{**})$ – на рис. 2, а и для соединительных деталей участка $P = P(t_{n,k=17}^{**})$ – на рис. 2, б.

Распределение вероятности времени крупномасштабного разрушения $P = P(t^{**})$ участка нефтепровода дано на рис. 2, в.

Приближенно получены следующие значения характерных времен в зависимости (3.33):

$$t_{s,1} = 18 \text{ лет}, \quad t_{1*} = 40 \text{ лет}$$

и базовых вероятностей $P_k(t_*)$:

$$P_{k=1}(t_*) = 0,0065; \quad P_{k=2}(t_*) = 0,025; \quad P_{k=4}(t_*) = 0,045;$$

$$P_{k=5}(t_*) = 0,065; \quad P_{k=7}(t_*) = 0,03; \quad P_{k=17}(t_*) = 0,013;$$

$$P(t_*) = 0,19.$$

Распределение вероятности расхода утечки перекачиваемых продуктов при крупномасштабном разрушении участка трубопровода описывают следующим соотношением:

$$P(V_e < V) = \left\{ [P(V_e < V_1)(\ln V / \ln V_1)^b] \right\} \exp \left\{ -(\ln V - \ln V_1) / \ln V_* \right\},$$

где

$$b = (1 - \ln V_s / \ln V_1)^{-2}, \quad \ln V_* = \ln V_1 (1 - \ln V_s / \ln V_1)^2;$$

$P = P(V_e < V)$ – вероятность события, при котором величина расхода утечки при раскрытии критической трещины в конструкции участка трубопровода будет меньше расхода V продукта;

$P = P(V_e < V_1)$ – вероятность события, при котором величина расхода утечки при раскрытии критической трещины в конструкции участка трубопровода будет меньше расхода продукта при его нормальной эксплуатации, $P(V_e < V_1) = 0,999$;

V – расход утечки перекачиваемых продуктов при крупномасштабном разрушении участка трубопровода;

V_1 – расход продукта при нормальной эксплуатации участка трубопровода;

V_s – расход утечки из критической трещины в конструкции участка трубопровода при $P(V_e < V_1) = 0,5$.

Парциальное распределение вероятности объемов утечки перекачиваемых продуктов при крупномасштабном разрушении участка трубопровода, обусловленном q -й причиной, описывают следующим соотношением:

$$P_q(V_e < V) = \left\{ [P_q(V_e < V_1)(\ln V / \ln V_1)^b] \right\} \times \\ \times \exp \left\{ -(\ln V - \ln V_1) / \ln V_* \right\}$$

$P_q = P_q(V_e < V_1)$ – вероятность события, при котором величина объема утечки при раскрытии критической трещины в конструкции участка трубопровода, обусловленной q -й причиной, будет меньше расхода продукта при его нормальной эксплуатации. Значения P_q приведены в табл. 1.

1. Значения P_q для различных факторов возникновения критической трещины в конструкции участка трубопровода

Фактор	P_q
Конструктивно-технологические несовершенства	0,05
Качество строительно-монтажных работ	0,20
Приемо-сдаточные испытания и переиспытания	0,05
Внешние антропогенные механические воздействия	0,15
Природные воздействия	0,05
Подземная коррозия	0,15
Стресс-коррозия	0,1
Атмосферная коррозия	0,05
Внутренняя коррозия	0,05
Ошибки эксплуатации	0,15



3.9. Распределение вероятности времени потери герметичности t_s^{**} при образовании зон коррозионных свищ в конструкции участка трубопровода $P = P(t_s^{**})$ задают по следующему соотношению:

$$P(t_s^{**}) = \sum_{n=0}^{N(t_s^{**})} P(t_{n,s}^{**}), \quad (3.37)$$

где $P = P(t_{n,s}^{**})$ – распределение вероятности времени потери герметичности $t_{n,s}^{**}$ после образования n -й зоны коррозионных свищ.

Распределение $P = P(t_{n,s}^{**})$ находят по следующим соотношениям:

$$P(t_{n,s}^{**}) = \left\{ [P_s(t_s) (t_{n,s}^{**}/t_{2*})^b] n/n! \right\} \times \exp \left\{ -(t_{n,s}^{**} - t_{2*})/T_{1,2} \right\}, \quad (3.38)$$

где $b = (1 - t_{s,2}/t_{2*})^{-2}$, $T_{1,2} = t_{2*}(1 - t_{s,2}/t_{2*})^2$.

$P_s(t_s)$ – вероятность потери герметичности при образовании первой зоны коррозионных свищ в конструкции участка в течение назначенного срока службы t_s .

Приближенное значение $P_s(t_s)$ определяют по формуле:

$$P_s(t_s) = n_c^*/4, \quad (3.39)$$

где n_c^* – наиболее вероятное значение n_c для рассматриваемого участка трубопровода, устанавливаемое по результатам инженерно-геологических изысканий трассы и по проектным параметрам системы электрозащиты трубопровода с помощью п. 3.11.

Значение t_{2*} вычисляют по формуле

$$\lg(t_{2*}/t_0) = \frac{1}{v} \left\{ 1 - [1 - v \lg(t_s^*/t_0)] / \exp(10^{(2-h)^2} - 1) / s_1 \right\}, \quad (3.40)$$

а значение $t_{s,2}$ – по аналогичной формуле

$$\lg(t_{s,2}/t_0) = \frac{1}{v} \left\{ 1 - [1 - v \lg(t_s/t_0)] / \exp(10^{(2-h)/2} - 1) / s_1 \right\}, \quad (3.41)$$

здесь h – показатель коррозионного процесса, s_1 – коэффициент, учитывающий напряженное состояние конструктивных элементов и определяющий скорость увеличения глубины каверны.

Средний размер свищ в пораженной зоне участка в момент времени t находят по соотношению:

$$d_{n,s}^{**}(t) = [d_s^{*(2-h)/2} + s_2 \lg(t/t_{n,s}^{**})]^{2/(2-h)}, \quad (3.42)$$

d_s^* – средний диаметр свищ в момент времени $t_{n,s}^{**}$;

s_2 – коэффициент, учитывающий напряженное состояние конструктивных элементов и определяющий скорость увеличения размеров каверны на их поверхности.

3.10. Распределение вероятности времени n -го разрушения $t_{n,d}^{**}$ участка техникой третьей стороны или актами терроризма $P = P(t_{n,d}^{**})$ находят по следующей зависимости:

$$P(t_{n,d}^{**}) = \varphi \left\{ \left[(t_{n,d}^{**}/t_s)^b \right] n/n! \right\} \exp \left\{ -(t_{n,d}^{**} - t_s)/T_1 \right\}, \quad (3.43)$$

где $b = (1 - t_s/t_s)^{-2}$, $T_1 = t_s(1 - t_s/t_s)^2$.

$\varphi = P(t_s)f$ – вероятность первого разрушения участка техникой третьей стороны или актами терроризма в течение назначенного срока службы t_s , зависящая от глубины заложения конструкции трубопровода, степени дополнительной защиты, особенностей инфраструктуры района нахождения участка (от плотности населения, от уровня строительной и сельскохозяйственной активности, от наличия внедомственных подземных коммуникаций, пересечения или близости авто- или железных дорог),

$$P(t_s) = (0,3 \div 1,0), f = f((h + h_1)/h_0),$$

h – глубина заложения конструкции трубопровода; h_1 – эквивалентная глубина заложения, учитывающая степень дополнительной защиты.

Так, при отсутствии дополнительной защиты $h_1 = 0$, при наличии бетонного покрытия толщиной 0,05 м $h_1 = 0,2$ м, толщиной 0,1 м $- h_1 = 0,3$ м, железобетонного кожуха $- h_1 = 0,6$ м.

Значения t_s и t_s определяют по п. 3.2.

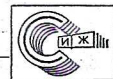
3.11. Номер группы n_c (соотношения (3.6), (3.7), (3.20), (3.31), (3.39)), учитывающий интенсивность коррозионного воздействия окружающей среды на конструктивный элемент трубопровода, зависит от электрометрических, химических, микробиологических и конструктивных параметров трубопровода и окружающей среды.

Приближенное значение n_c оценивают по следующей формуле:

$$n_c = \exp \left\{ [\alpha_1 (T/T_s - 1)^2 + \alpha_2 (\text{pH/pH}_s - 1)^2 + \alpha_3 (E_h/E_{h_s} - 1)^2]^{1/2} l_s^{3/4} \right\}, \quad (3.44)$$

$$l_s = \begin{cases} (1 - i/i_{l,r})(i/i_{l,r}) & i < i_{l,r} \\ 0 & \text{при } i_{l,l} < i < i_{l,r} \\ (i/i_{l,r} - 1)(i/i_{l,r}) & i > i_{l,r} \end{cases} \quad (3.45)$$

где i – плотность тока катодной поляризации, mA/m^2 , $i = (i_{l,l} \div i_{l,r})$ – интервал значений защитной плотности тока катодной поляризации, при котором отсутствуют коррозионные процессы в трубопроводе;



$T = T_*$, $\text{pH} = \text{pH}_*$, $E_h = E_{h*}$, – система значений параметров, при которой отсутствуют коррозионные процессы в трубопроводе.

Здесь pH – кислотно-щелочной показатель грунта; E_h – окислительно-восстановительный потенциал, В (редокс-потенциал относительно нормального водородного электрода (н.в.э.)).

Значения $i_{l,l}$ и $i_{l,r}$ зависят от защитных потенциалов катодной поляризации трубы-земля $U_{l,l}$ и $U_{l,r}$ соответственно, сопротивления изоляции $R_{\text{из}}$, удельного сопротивления грунта $\rho_{\text{гр}}$, сопротивления трубы R_t , вероятности появления буждающих токов данной частоты и силы.

Переходное электрическое сопротивление изоляции $R_{\text{из}}$ зависит от типа покрытия газопровода:

- конструктивный элемент без покрытия;
- конструктивный элемент без покрытия с анодной защитой;
- ленточное полиэтиленовое холдного нанесения при наличии обвертки (в трассовых условиях);
- полиэтиленовое с нанесением методом экструзии в заводских условиях;

• асфальт, мастика, эмаль; эпоксидное, каменноугольное, эпоксидно-каменноугольное, парафиновое;
• от наличия или отсутствия обвертки и конструкций защитного покрытия по ГОСТ 25812–83, от вероятности образования электролита в "мешках" покрытия и от вероятности сохранения целостности покрытия при сейсмическом воздействии, при просадках и оползнях.

Переходное электрическое сопротивление изоляции $R_{\text{из}}$ ($\Omega/\text{м}^2$) лежит в следующих интервалах активного сопротивления:

$$10^3 \div 10^4; 10^4 \div 10^5; 10^5 \div 10^7; 10^7 \div 10^{10}; 10^{10} \div 10^{14}.$$

Удельное сопротивление грунта $\rho_{\text{гр}}$ учитывает вид и физическое состояние грунтов: горные породы, глины и суглинки, супесь (тяж, ср., пыл.), песок различной крупности (к/з, с.з., м/з).

Значения электрического сопротивления грунта ρ_g , $\Omega \cdot \text{см}$, находят в следующих интервалах: выше 10 000; 5 000–10 000; 2 000–5 000; 1 000–2 000; 500–1 000.

Значения потенциалов катодной поляризации трубы-земля $U_{l,l}$ и $U_{l,r}$ в зависимости от их пространственного распределения находятся в следующих интервалах (S – площадь поверхности конструкции трубопровода):

- $U_{l,l}, U_{l,r} > -0,85$ при менее 15 % S ;
 - $-0,85 > U_{l,l} > -1,10$
 - $-1,10 > U_{l,r} > -1,25$
- } при всей S .

При $T > 40^\circ\text{C}$ и $\text{pH} > 8,5$ – активное анодное растворение, при $T < 30^\circ\text{C}$ и $5,5 < \text{pH} < 7,5$ – инициируемое водородом коррозионное растрескивание под напряжением (КРН).

Коэффициенты α_2 и α_3 зависят от содержания в грунте водорастворимых солей, от интенсивности размножением сульфаторедуцирующих и кислотопроизводящих бактерий в адгезионном слое и наличия

побочных продуктов их жизнедеятельности (двуокиси углерода, сероводорода, органических кислот).

Классификация условий эксплуатации участка по интенсивности протекающих в его конструктивных элементах процессов коррозии и стресс-коррозии содержит следующие группы:

- $n_c = 1$ – отсутствие коррозионных процессов;
- $n_c = 2$ – низкий уровень развития коррозионных процессов;
- $n_c = 3$ – средний уровень развития коррозионных и стресс-коррозионных процессов;
- $n_c = 4$ – интенсивное развитие коррозионных и стресс-коррозионных процессов.

Коэффициенты α_1 , α_2 и α_3 находят по значениям параметров T , pH , E_h , i_* для всех видов коррозионных процессов, т.е. значений n_c , равных, например, 2, 3 и 4:

$$\alpha_1 + \alpha_2 + \alpha_3 < 1; i_* < 1/4.$$

3.12. Приближенную закономерность распределения $t_{n,k}^*$ по различным участкам трубопровода между соседними перекачивающими станциями записывают в следующей форме:

$$\lg t_{n,k}^*(l_s) = (n_{c,b}/n_{c,s})^{s_1} \exp \left\{ \alpha [(T_b - T_*)^2 - (T_s - T_*)^2] \right\} \times \\ \times [1 - (1 - p_e/p_b)(l_s - l_1)]^{-q/2} \lg t_{n,k}^*(l_1), \quad (3.46)$$

$$s_1, q, a = \text{const}, \quad 0 < s_1 < 1, \quad 4 > q > 1,$$

где $t_{n,k}^*(l_s)$, $t_{n,k}^*(l_1)$ – соответственно времена потери герметичности из-за появления n -й сквозной трещины в k -м конструктивном элементе s -го участка и первого участка по длине трубопровода,

l_s , l_1 – соответственно безразмерные значения расстояния s -го и первого участков трубопровода от КС или НПС (отнесены к длине трубопровода между соседними станциями),

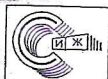
p_e , p_b – соответственно значения внутреннего давления во всасывающем и нагнетательном коллекторах обвязочных трубопроводов соседних станций;

$n_{c,b}$, $n_{c,s}$ – соответственно номера группы по интенсивности коррозионного воздействия окружающей среды на конструктивные элементы первого и s -го участков по длине трубопровода;

T_b , T_s – соответственно температура перекачиваемого продукта на первом и s -м участках по длине трубопровода.

Таким образом, распределение вероятности времени потери герметичности t^* из-за появления сквозных трещин в конструкции участка трубопровода $P = P(t^*)$ и распределение вероятности времени потери герметичности $t_{n,k}^*$ из-за появления n -й сквозной трещины в k -м конструктивном элементе участка $P = P(t_{n,k}^*)$ находят согласно пп. 3.2 – 3.6 и 3.11.

Распределение вероятности времени крупномасштабного разрушения t^{**} при раскрытии критической трещины в конструкции участка трубопровода $P =$



$= P(t^{**})$ и распределение вероятности времени крупномасштабного разрушения $t_{n,k}^{**}$ при раскрытии n -й критической трещины в k -м конструктивном элементе участка $P = P(t_{n,k}^{**})$ вычисляют согласно пп. 3.8 и 3.11.

Объем потерянного продукта вычисляют по п. 3.7. При необходимости распределения вероятностей $P = P(t^*)$ и $P = P(t^{**})$, $P = P(t_{n,k}^*)$ и $P = P(t_{n,k}^{**})$ восстанавливают по статистическим данным появления сквозных и магистральных трещин при эксплуатации трубопроводов того же вида на соответствующей территории.

Распределение вероятности времени потери герметичности $t_{n,s}^{**}$ после образования n -й зоны коррозионных свищей $P = P(t_{n,s}^{**})$ (пп. 3.9 и 3.11) и распределение вероятности времени n -го разрушения $t_{n,d}^{**}$ участка техникой третьей стороны или актами терроризма (вандализма) $P = P(t_{n,d}^{**})$ (п. 3.10) при необходимости также строят по статистическим данным появления свищей и пробойн при эксплуатации трубопроводов того же вида на соответствующей территории.

Литература

1. Завойчинская Э.Б., Завойчинский Б.И. Теоретические основы и практические подходы анализа безопасности конструкций трубопроводов. Часть 1. Справочник. Инженерный журнал, М.: № 5, 1998, с. 48–52.
2. Завойчинская Э.Б., Завойчинский Б.И. Теоретические основы и практические подходы анализа безопасности конструкций трубопроводов. Часть 2. Справочник. Инженерный журнал, М.: № 6, 1998, с. 41–47.
3. Методика оценки сроков службы газопроводов, М.: ИРЦ "РАО ГАЗПРОМ", 1997, 100 с.
4. Машиностроение. Энциклопедия. В 40 томах. т. IV–3: Надежность машин, 1998, с. 525–585.
5. СНиП 2.05.06–85. Магистральные трубопроводы / Госстрой СССР – М.: ЦИТП Госстроя СССР, 1985. – 52 с.
6. Завойчинский Б.И., Федоров М.С., Завойчинская Э.Б. Проектная оценка долговечности и безопасности подземных трубопроводов. Доклады участников Второй международной конференции "Безопасность трубопроводов". – М.: 1997. – секция 4, с. 23–32.
7. Zavoichinskii B.I., Zavoichinskaya E.B. Design Estimation of the Underground Piping Safety. High Pressure Pipeline Reliability after a Long Time Operation. Seventh Internation Kolokvium. – Praha: 17–18 March 1998. – pp. 1–14.

Уважаемые читатели!

Продолжается подписка на журнал «Контроль. Диагностика».

Журнал распространяется по подписке, которую можно оформить по безналичному и наличному расчету непосредственно в редакции журнала или в любом почтовом отделении.

Подписной индекс 47649

в каталоге агентства «Роспечать» с. 198 на первое полугодие 1999 года.

Для оформления подписки в редакции журнала необходимо перечислить стоимость подписки на расчетный счет издательства. В платежном поручении (или переводе) укажите: «Подписка на журнал «Контроль. Диагностика». Копию платежного поручения (почтового перевода) направляйте в редакцию с указанием адреса и ФИО получателя журнала.

Журнал выходит ежемесячно. Подписная цена журнала на 1 полугодие – 1080 рублей. Цена одного номера журнала по подписке – 180 рублей.

Банковские реквизиты издательства:

Получатель: ИНН 7718014309, издательство «Машиностроение»,
р/с 40502810900180000016 в ФКБ «Московский Индустральный» Куйбышевский,
к/с 30101810200000000425, БИК 044583425, ОКОНХ 87100, ОКПО 02425778.
Адрес журнала: 107076, Москва, Строгинский пер., д. 4, издательство «Машиностроение»,
редакция журнала «Контроль. Диагностика». Тел.: (095) 269 5496, 268 3654, 268 6919.
Факс: (095) 269 4897.